

Starkniederschlagshöhen und -spenden gemäß KOSTRA-DWD-2020

Rasterfeld 144117

(Zeile 144, Spalte 117)

Regenspende und Bemessungsniederschlagswerte in Abhängigkeit von Wiederkehrzeit T und Dauerstufe D

| Dauerstufe D | | Wiederkehrzeit T | | | | | | | | | | | | | | | | | |
|--------------|-----|------------------|------------|------|------------|------|------------|-------|------------|-------|------------|-------|------------|-------|------------|-------|------------|-------|------------|
| | | 1 a | | 2 a | | 3 a | | 5 a | | 10 a | | 20 a | | 30 a | | 50 a | | 100 a | |
| min | Std | mm | l / (s ha) | mm | l / (s ha) | mm | l / (s ha) | mm | l / (s ha) | mm | l / (s ha) | mm | l / (s ha) | mm | l / (s ha) | mm | l / (s ha) | mm | l / (s ha) |
| 5 | | 6,5 | 216,7 | 7,8 | 260,0 | 8,6 | 286,7 | 9,7 | 323,3 | 11,3 | 376,7 | 13,0 | 433,3 | 14,1 | 470,0 | 15,5 | 516,7 | 17,5 | 583,3 |
| 10 | | 8,3 | 138,3 | 10,0 | 166,7 | 11,1 | 185,0 | 12,5 | 208,3 | 14,5 | 241,7 | 16,6 | 276,7 | 18,0 | 300,0 | 19,8 | 330,0 | 22,4 | 373,3 |
| 15 | | 9,5 | 105,6 | 11,4 | 126,7 | 12,7 | 141,1 | 14,3 | 158,9 | 16,6 | 184,4 | 19,0 | 211,1 | 20,6 | 228,9 | 22,7 | 252,2 | 25,6 | 284,4 |
| 20 | | 10,4 | 86,7 | 12,6 | 105,0 | 13,9 | 115,8 | 15,7 | 130,8 | 18,3 | 152,5 | 20,9 | 174,2 | 22,6 | 188,3 | 24,9 | 207,5 | 28,2 | 235,0 |
| 30 | | 11,8 | 65,6 | 14,3 | 79,4 | 15,9 | 88,3 | 17,9 | 99,4 | 20,8 | 115,6 | 23,8 | 132,2 | 25,8 | 143,3 | 28,4 | 157,8 | 32,1 | 178,3 |
| 45 | | 13,5 | 50,0 | 16,3 | 60,4 | 18,1 | 67,0 | 20,4 | 75,6 | 23,7 | 87,8 | 27,1 | 100,4 | 29,3 | 108,5 | 32,3 | 119,6 | 36,5 | 135,2 |
| 60 | 1 | 14,8 | 41,1 | 17,9 | 49,7 | 19,8 | 55,0 | 22,3 | 61,9 | 25,9 | 71,9 | 29,7 | 82,5 | 32,1 | 89,2 | 35,3 | 98,1 | 40,0 | 111,1 |
| 90 | 1,5 | 16,7 | 30,9 | 20,3 | 37,6 | 22,4 | 41,5 | 25,3 | 46,9 | 29,4 | 54,4 | 33,7 | 62,4 | 36,5 | 67,6 | 40,1 | 74,3 | 45,4 | 84,1 |
| 120 | 2 | 18,3 | 25,4 | 22,2 | 30,8 | 24,5 | 34,0 | 27,7 | 38,5 | 32,2 | 44,7 | 36,8 | 51,1 | 39,9 | 55,4 | 43,9 | 61,0 | 49,6 | 68,9 |
| 180 | 3 | 20,8 | 19,3 | 25,1 | 23,2 | 27,8 | 25,7 | 31,4 | 29,1 | 36,5 | 33,8 | 41,8 | 38,7 | 45,2 | 41,9 | 49,8 | 46,1 | 56,2 | 52,0 |
| 240 | 4 | 22,7 | 15,8 | 27,5 | 19,1 | 30,4 | 21,1 | 34,3 | 23,8 | 39,9 | 27,7 | 45,7 | 31,7 | 49,4 | 34,3 | 54,4 | 37,8 | 61,5 | 42,7 |
| 360 | 6 | 25,7 | 11,9 | 31,1 | 14,4 | 34,5 | 16,0 | 38,9 | 18,0 | 45,2 | 20,9 | 51,8 | 24,0 | 56,0 | 25,9 | 61,7 | 28,6 | 69,7 | 32,3 |
| 540 | 9 | 29,2 | 9,0 | 35,3 | 10,9 | 39,1 | 12,1 | 44,1 | 13,6 | 51,3 | 15,8 | 58,7 | 18,1 | 63,5 | 19,6 | 69,9 | 21,6 | 79,0 | 24,4 |
| 720 | 12 | 31,9 | 7,4 | 38,6 | 8,9 | 42,7 | 9,9 | 48,2 | 11,2 | 56,0 | 13,0 | 64,1 | 14,8 | 69,4 | 16,1 | 76,4 | 17,7 | 86,3 | 20,0 |
| 1080 | 18 | 36,1 | 5,6 | 43,7 | 6,7 | 48,4 | 7,5 | 54,6 | 8,4 | 63,5 | 9,8 | 72,6 | 11,2 | 78,7 | 12,1 | 86,5 | 13,3 | 97,8 | 15,1 |
| 1440 | 24 | 39,5 | 4,6 | 47,8 | 5,5 | 52,9 | 6,1 | 59,6 | 6,9 | 69,4 | 8,0 | 79,4 | 9,2 | 85,9 | 9,9 | 94,5 | 10,9 | 106,9 | 12,4 |
| 2880 | 48 | 48,8 | 2,8 | 59,1 | 3,4 | 65,5 | 3,8 | 73,8 | 4,3 | 85,9 | 5,0 | 98,3 | 5,7 | 106,4 | 6,2 | 117,0 | 6,8 | 132,3 | 7,7 |
| 4320 | 72 | 55,3 | 2,1 | 67,0 | 2,6 | 74,2 | 2,9 | 83,6 | 3,2 | 97,3 | 3,8 | 111,3 | 4,3 | 120,5 | 4,6 | 132,6 | 5,1 | 149,9 | 5,8 |
| 5760 | 96 | 60,5 | 1,8 | 73,2 | 2,1 | 81,0 | 2,3 | 91,4 | 2,6 | 106,3 | 3,1 | 121,6 | 3,5 | 131,7 | 3,8 | 144,9 | 4,2 | 163,8 | 4,7 |
| 7200 | 120 | 64,8 | 1,5 | 78,4 | 1,8 | 86,8 | 2,0 | 97,9 | 2,3 | 113,8 | 2,6 | 130,3 | 3,0 | 141,1 | 3,3 | 155,2 | 3,6 | 175,4 | 4,1 |
| 8640 | 144 | 68,5 | 1,3 | 82,9 | 1,6 | 91,8 | 1,8 | 103,5 | 2,0 | 120,4 | 2,3 | 137,8 | 2,7 | 149,2 | 2,9 | 164,1 | 3,2 | 185,5 | 3,6 |
| 10080 | 168 | 71,8 | 1,2 | 86,9 | 1,4 | 96,3 | 1,6 | 108,6 | 1,8 | 126,3 | 2,1 | 144,5 | 2,4 | 156,5 | 2,6 | 172,1 | 2,8 | 194,5 | 3,2 |

Starkniederschlagshöhen und -spenden gemäß KOSTRA-DWD-2020

Rasterfeld 144117

(Zeile 144, Spalte 117)

Örtliche Unsicherheiten in Abhängigkeit von Wiederkehrzeit T und Dauerstufe D

| Dauerstufe D | | Wiederkehrzeit T | | | | | | | | |
|--------------|-----|------------------|-----|-----|-----|------|------|------|------|-------|
| | | 1 a | 2 a | 3 a | 5 a | 10 a | 20 a | 30 a | 50 a | 100 a |
| min | Std | ± % | ± % | ± % | ± % | ± % | ± % | ± % | ± % | ± % |
| 5 | | 15 | 17 | 17 | 18 | 19 | 20 | 20 | 21 | 21 |
| 10 | | 18 | 20 | 20 | 21 | 22 | 23 | 23 | 24 | 24 |
| 15 | | 18 | 20 | 21 | 22 | 23 | 24 | 24 | 25 | 25 |
| 20 | | 19 | 20 | 21 | 22 | 23 | 24 | 24 | 25 | 25 |
| 30 | | 18 | 20 | 21 | 22 | 23 | 24 | 24 | 25 | 25 |
| 45 | | 17 | 19 | 20 | 21 | 22 | 23 | 23 | 24 | 24 |
| 60 | 1 | 17 | 18 | 19 | 20 | 21 | 22 | 23 | 23 | 24 |
| 90 | 1,5 | 15 | 17 | 18 | 19 | 20 | 21 | 21 | 22 | 22 |
| 120 | 2 | 14 | 16 | 17 | 18 | 19 | 20 | 20 | 21 | 21 |
| 180 | 3 | 12 | 14 | 15 | 16 | 17 | 18 | 19 | 19 | 20 |
| 240 | 4 | 12 | 13 | 14 | 15 | 16 | 17 | 17 | 18 | 18 |
| 360 | 6 | 10 | 12 | 13 | 14 | 15 | 15 | 16 | 16 | 17 |
| 540 | 9 | 9 | 10 | 11 | 12 | 13 | 14 | 14 | 15 | 15 |
| 720 | 12 | 8 | 10 | 10 | 11 | 12 | 13 | 13 | 14 | 14 |
| 1080 | 18 | 8 | 9 | 9 | 10 | 11 | 12 | 12 | 12 | 13 |
| 1440 | 24 | 8 | 8 | 9 | 9 | 10 | 11 | 11 | 12 | 12 |
| 2880 | 48 | 9 | 9 | 9 | 9 | 9 | 10 | 10 | 10 | 11 |
| 4320 | 72 | 10 | 9 | 9 | 9 | 9 | 10 | 10 | 10 | 10 |
| 5760 | 96 | 11 | 10 | 10 | 10 | 10 | 10 | 10 | 10 | 10 |
| 7200 | 120 | 12 | 11 | 11 | 10 | 10 | 10 | 10 | 10 | 10 |
| 8640 | 144 | 13 | 12 | 11 | 11 | 11 | 11 | 11 | 11 | 11 |
| 10080 | 168 | 13 | 12 | 12 | 11 | 11 | 11 | 11 | 11 | 11 |

Parameter für abweichende T und D

Lokationsparameter ξ (Xi)

14,84791865

Skalenparameter α (Alpha)

4,33854565

Formparameter κ (Kappa)

-0,1

1. Koutsoyiannis-Parameter θ (Theta)

0,00863095

2. Koutsoyiannis-Parameter η (Eta)

0,69220675

Parameter für dauerstufenübergreifende Extremwertschätzung nach KOUTSOYIANNIS et al. 1998.

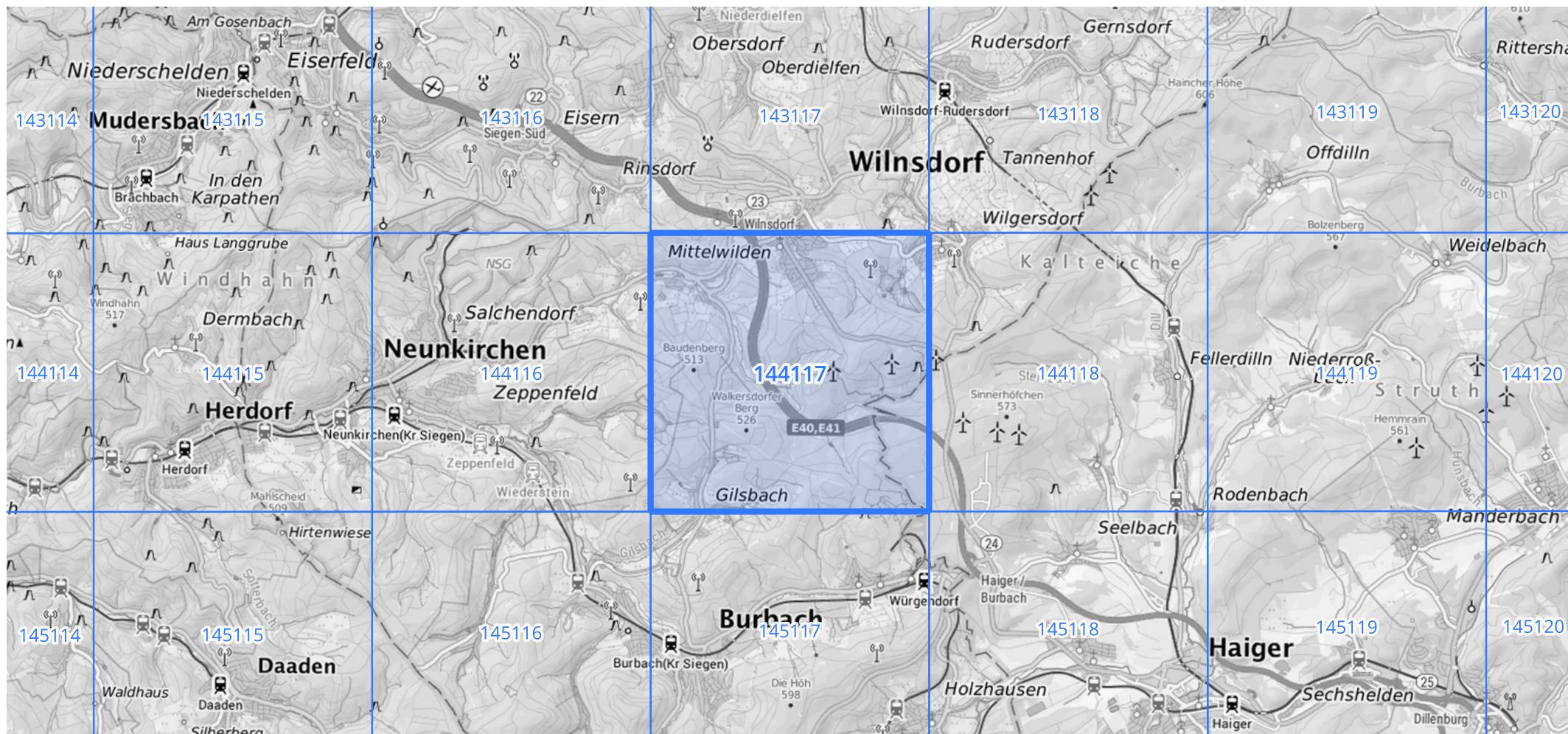
Siehe auch Anwendungshilfe zu KOSTRA-DWD-2020 des Deutschen Wetterdienstes.

Starkniederschlagshöhen und -spenden gemäß KOSTRA-DWD-2020

Rasterfeld 144117

(Zeile 144, Spalte 117)

Übersichtskarte des Rasterfeldes 144117, M 1 : 100 000



Quelle Rasterdaten: KOSTRA-DWD-2020 des Deutschen Wetterdienstes, Stand 12/2022.

Seite 3 von 3

Kartendarstellung: © Bundesamt für Kartographie und Geodäsie (2023), Datenquellen: https://sgx.geodatenzentrum.de/web_public/gdz/datenquellen/Datenquellen_TopPlusOpen.html

Für die Richtigkeit und Aktualität der Angaben wird keine Gewähr übernommen. Erstellt 01/2023.